

·基础研究·

# 脉冲电磁场对卵巢切除大鼠骨组织活化T细胞核因子2和空泡型V-ATP酶mRNA表达的影响\*

黄煦格<sup>1,2</sup> 何剑全<sup>1</sup> 陈健<sup>1,3</sup> 王潇<sup>1</sup> 黄慧<sup>1</sup>

## 摘要

**目的:**探讨脉冲电磁场(pulsed electromagnetic fields, PEMF)对卵巢切除(ovariectomized, OVX)大鼠骨组织细胞核因子κB受体活化因子(receptor activator of NF-κB, RANK),活化T细胞核因子2(nuclear factor of activated T2, NFAT2)和空泡型V-ATP酶(vacuolar H<sup>+</sup>-ATPase, V-ATP)表达的影响。

**方法:**将48只SD大鼠随机分为假手术组(SHAM),卵巢切除组(OVX),卵巢切除+脉冲电磁场治疗组(OVX+PEMF)。OVX+PEMF组大鼠在频率8Hz,磁场强度3.8mT的PEMF下每天干预40min,干预8周和16周后检测大鼠骨密度和骨组织RANK,NFAT2和V-ATP的mRNA表达水平。

**结果:**OVX组BMD在第8周( $P<0.05$ )和第16周( $P<0.001$ )均低于SHAM组。SHAM组与OVX组比较,8周时RANK表达 $P>0.05$ ,而SHAM组NFAT2与V-ATP表达均低于OVX组( $P<0.05, P<0.01$ );16周时RANK、NFAT2、V-ATP在OVX组表达升高(均 $P<0.01$ )。SHAM组与OVX+PEMF组比较,8周时两组RANK、NFAT2、V-ATP表达 $P>0.05$ ;16周时OVX+PEMF组RANK和NFAT2表达均高于SHAM组(均 $P<0.01$ ),而两组V-ATP表达 $P>0.05$ 。OVX组与OVX+PEMF组相比,8周时两组RANK和V-ATP表达均 $P>0.05$ ,OVX+PEMF组NFAT2表达低于OVX组( $P<0.05$ );第16周时两组RANK表达 $P>0.05$ ,NFAT2和V-ATP在OVX+PEMF组的表达均下降( $P<0.01, P<0.05$ )。

**结论:**PEMF可通过下调OVX大鼠骨组织中NFAT2和V-ATP mRNA的表达从而抑制破骨细胞的骨吸收,进而延缓OVX大鼠的骨丢失。

**关键词** 脉冲电磁场,细胞核因子κB受体活化因子;活化T细胞核因子2;空泡型V-ATP

**中图分类号:**R681,R493   **文献标识码:**A   **文章编号:**1001-1242(2018)-08-0896-05

**Effects of pulsed electromagnetic fields on the expression of NFAT2 and V-ATP mRNA in the bone of ovariectomized rats/HUANG Xuge, HE Jianquan, CHEN Jian, et al./Chinese Journal of Rehabilitation Medicine, 2018, 33(8): 896—900**

## Abstract

**Objective:** To investigate the effect of Pulsed electromagnetic fields (PEMF) on the mRNA expression of Receptor activator of NF-κB (RANK), Nuclear factor of activated T2 (NFAT2) and Vacuolar H<sup>+</sup>-ATPase(V-ATP) in the bone of ovariectomized(OVX) rats.

**Method:** Forty eight Sprague-Dawley rats were randomly divided into SHAM group, OVX group and OVX+PEMF group. The rats in OVX+PEMF group were treated in 8Hz and 3.6 mT PEMF for 40 minutes once a day. The level of Bone mineral density (BMD) was detected after intervention. Moreover, the mRNA expression of RANK, NFAT2 and V-ATP in bone were tested in every group at 8th and 16th weeks respectively.

**Result:** The BMD of OVX group was lower than that of SHAM group at the 8th week ( $P<0.05$ ) and the 16th week ( $P<0.001$ ). Comparison between SHAM group and OVX group at the 8th week, there was no signif-

DOI:10.3969/j.issn.1001-1242.2018.08.004

\*基金项目:国家自然科学基金(81272168);福建省自然科学基金(2016J01623,2017J01375);福建省卫生计生委青年科研课题(2015-2-45)

1 厦门大学附属中山医院康复医学科,厦门,361004; 2 广州中医药大学第一临床医学院; 3 通讯作者

作者简介:黄煦格,女,医师; 收稿日期:2018-01-30

ificant difference in the expression of RANK mRNA ( $P>0.05$ ), while the expression of NFAT2 and V-ATP were increased in OVX group ( $P<0.05$ ,  $P<0.01$ ). Furthermore, the expressions of RANK, NFAT2 and V-ATP in OVX group were higher than those in SHAM group at the 16th week (all  $P<0.01$ ). The mRNA expressions of RANK, NFAT2 and V-ATP had no significant changes between SHAM group and OVX+PEMF group at the 8th week ( $P>0.05$ ). At the 16th week, the expressions of RANK and NFAT2 in OVX+PEMF group were higher than those in SHAM group (all  $P<0.01$ ), but no significant difference for the expression of V-ATP ( $P>0.05$ ). Compared to OVX group and OVX+PEMF group, the mRNA expressions of RANK and V-ATP at 8 weeks had no difference ( $P>0.05$ ). However, the expression of NFAT2 was down-regulated in OVX+PEMF group ( $P<0.05$ ). The RANK expression of the two groups had no change at the 16th week ( $P>0.05$ ), while the expressions of NFAT2 and V-ATP were decreased in OVX+PEMF group ( $P<0.01$ ,  $P<0.05$ ).

**Conclusion:** PEMF can reduce the bone resorption of osteoclasts by down-regulating the mRNA expressions of NFAT2 and V-ATP, and then delay bone loss in OVX rats.

**Author's address** Department of Rehabilitation, Zhongshan Hospital Xiamen University, Xiamen Fujian, 361004, P.R.China.

**Key word** pulsed electromagnetic fields, RANK, NFAT2, V-ATP

破骨细胞(osteoclast, OC)在骨重建过程中发挥至关重要的作用,细胞核因子κB受体活化因子(receptor activator of NF-κB, RANK),细胞核因子κB受体活化因子配体(receptor activator of nuclear factor kappa B ligand, RANKL)和骨保护素(osteoprotegerin, OPG)三者间相互共同作用形成OPG/RANK/RANKL系统,调节OC的形成、活化和分化<sup>[1]</sup>。钙调节磷酸酶(Calcineurin, CN)/活化T细胞核因子信号通路(nuclear factor of activated T cells, NFAT)与OPG/RANK/RANKL系统密切相关的重要的信号传导途径<sup>[2]</sup>。NFAT2作为NFAT家族的成员之一,在CN的调控下,是OC分化过程中最强的转录因子<sup>[3]</sup>。成熟OC通过空泡型V-ATP酶(vacuolar H<sup>+</sup>-ATPase, V-ATP)的作用溶解骨的无机成分,将H<sup>+</sup>分泌到局部环境中从而包围并酸化骨组织边界<sup>[4]</sup>,造成骨吸收。

脉冲电磁场(pulsed electromagnetic fields, PEMF)抗骨质疏松症(osteoporosis, OP)的有效性得到了动物实验和临床研究的证实<sup>[5-6]</sup>。然而,PEMF抑制OC骨吸收的分子机制尚未完全阐明。本实验通过观察PEMF对卵巢切除(ovariectomized, OVX)大鼠骨组织NFAT2, RANK和V-ATPmRNA表达的影响,研究PEMF抗骨质疏松的分子生物学机制。

## 1 材料与方法

### 1.1 实验动物

3月龄雌性SPF级SD大鼠48只,体质量185±6g,由厦门大学医学院实验动物中心提供(证书编号:2007-0005)。动物饲养环境通风良好,温度设置22±2℃,湿度70%,12—12间隔照明。本动物实验伦理经厦门大学中山医院医学伦理委员会批准。

### 1.2 主要材料与仪器

Trizol(美国Invitrogen公司),Taq DNA聚合酶和dNTPs(中国宝生物工程(大连)有限公司),第一链cDNA合成试剂盒(立陶宛MBI公司),PCR引物和探针(中国上海生物工程研究中心),脉冲电磁场骨质疏松治疗仪UNION-2000A(中国医学科学院生物医学工程研究所)。

### 1.3 实验方法

**1.3.1 动物模型制备及分组情况:**按随机分配原则将48只大鼠随机分配为假手术组(SHAM)、卵巢切除术组(OVX)、卵巢切除术组+脉冲电磁场治疗组(OVX+PEMF),每组16只。除SHAM组外,其余2组均在麻醉和无菌的状态下切除双侧卵巢造模。SHAM组大鼠仅切除双侧卵巢周围少量脂肪组织,但不切除卵巢。使用青霉素预防感染,1次/d,连续3d。术后3d,将OVX+PEMF组大鼠每天持续40min暴露在频率8Hz,磁场强度3.8mT的PEMF的环境下进行干预。SHAM组和OVX组大鼠同样放置PEMF上,但不打开电源。分别于干预后第8周和第16周,将每组中一半的老鼠安乐死,无菌下取骨组织待测。

**1.3.2 检测指标:骨矿物质密度测定:**取各组大鼠左侧股骨,标记后储存在-80℃的环境中待测。使用双能X射线吸收骨密度仪(GE Lunar Prodigy,美国)测量每个股骨骨密度(bone mineral density, BMD),采用骨密度仪推荐的小动物分析方案进行扫描。

**RT-PCR 测定基因表达:**收集大鼠髂骨组织,液氮冻存,充分研磨后使用 Trizol 试剂抽提总 RNA。使用 RevertAid 第一链 cDNA 合成试剂盒,在 20μl 反应里,从 2μg 总 RNA 中合成第一链 cDNA,每份样本

一式 3 份进行分析。根据说明书,使用 The light cycler-fast start DNA master SYBR green。实时 PCR 定量测定在实时 PCR 循环仪(ABI7500,美国)中进行。制定方案:预变性,95℃,10min;变性,95℃,20s 后;退火,60℃,20s;延伸,20s,72℃,共 40 个循环。内参基因 GAPDH mRNA 作为参照标准。

RANK, NFAT2, V-ATP 酶和 GAPDH 的 PCR 引物的具体序列列于表 1。

#### 1.4 统计学分析

表 1 PCR 引物序列

基因	5'-3'	引物序列	产物大小(bp)	GenBank Accession 编号
rRANK	Forward	TCAGCATTACTACAGGAAGGGAG	209	NM_001271235.1
	Reverse	AGCACAGTCTCTGGAACCATCT		
rNFAT2	Forward	GGAGGGAAAGAAGATGGTGTGT	182	NM_001244933.1
	Reverse	CTGGTTATTCTCTGGTTGGCGG		
rV-ATP	Forward	CACAACAGACAGATTACCCCTCTA	180	NM_057213.2
	Reverse	GGCTTCTTCTCCCACCACAG		
GAPDH	Forward	AGTGCCAGCCTCGTCTCATAG	192	NM_001244933.1
	Reverse	CGTTGAACCTGCCGTGGTAG		

采用  $2^{-\Delta\Delta Ct}$  方法分析相关基因表达的数据,  $\Delta\Delta Ct = (\text{处理组 } Ct \text{ 目的基因} - Ct \text{ 内参基因}) - (\text{对照组 } Ct \text{ 目的基因} - Ct \text{ 内参基因})$ <sup>[7]</sup>。所有数据采用平均值±标准差表示,各组间比较采用单向方差分析,方差不齐采用非参数检验。借助 SPSS 18.0 软件进行处理分析,  $P < 0.05$  具有显著性意义。

## 2 结果

### 2.1 骨密度测定

使用双能 X 线吸收测量法测量左股骨的 BMD (表 2),第 8 周和第 16 周,SHAM 组与 OVX 组相比,左侧股骨部位的 BMD 分别降低 6.62% ( $P < 0.05$ ) 和 31.79% ( $P < 0.001$ )。干预 8 周后,OVX+PEMF 组与 OVX 组相比,  $P > 0.05$ , 无显著性意义。干预 16 周后,OVX+PEMF 组与 OVX 组相比,  $P < 0.05$ 。

### 2.2 各组 RANK、NFAT2、V-ATP mRNA 表达的检测

实时定量荧光 PCR 用于测量 mRNA 水平(图 1),SHAM 组与 OVX 组比较,8 周时 RANK 表达无

差异( $P > 0.05$ ),而 SHAM 组 NFAT2 与 V-ATP 表达均低于 OVX 组 ( $P < 0.05$ ,  $P < 0.01$ );16 周时 RANK、NFAT2、V-ATP 在 OVX 组表达升高(均  $P < 0.01$ )。SHAM 组与 OVX+PEMF 组比较,8 周时两组 RANK、NFAT2、V-ATP 表达均无差异( $P > 0.05$ );16 周时 OVX+PEMF 组 RANK 和 NFAT2 表达均高于 SHAM 组(均  $P < 0.01$ ),而两组 V-ATP 表达无差异( $P > 0.05$ )。OVX 组与 OVX+PEMF 组相比,8 周时两组 RANK 和 V-ATP 表达均无差异( $P > 0.05$ ),而 OVX+PEMF 组 NFAT2 表达低于 OVX 组( $P < 0.05$ );第 16 周时两组 RANK 表达无差异( $P > 0.05$ ),NFAT2 和 V-ATP 在 OVX+PEMF 组的表达均下降( $P < 0.01$ ,  $P < 0.05$ )。

## 3 讨论

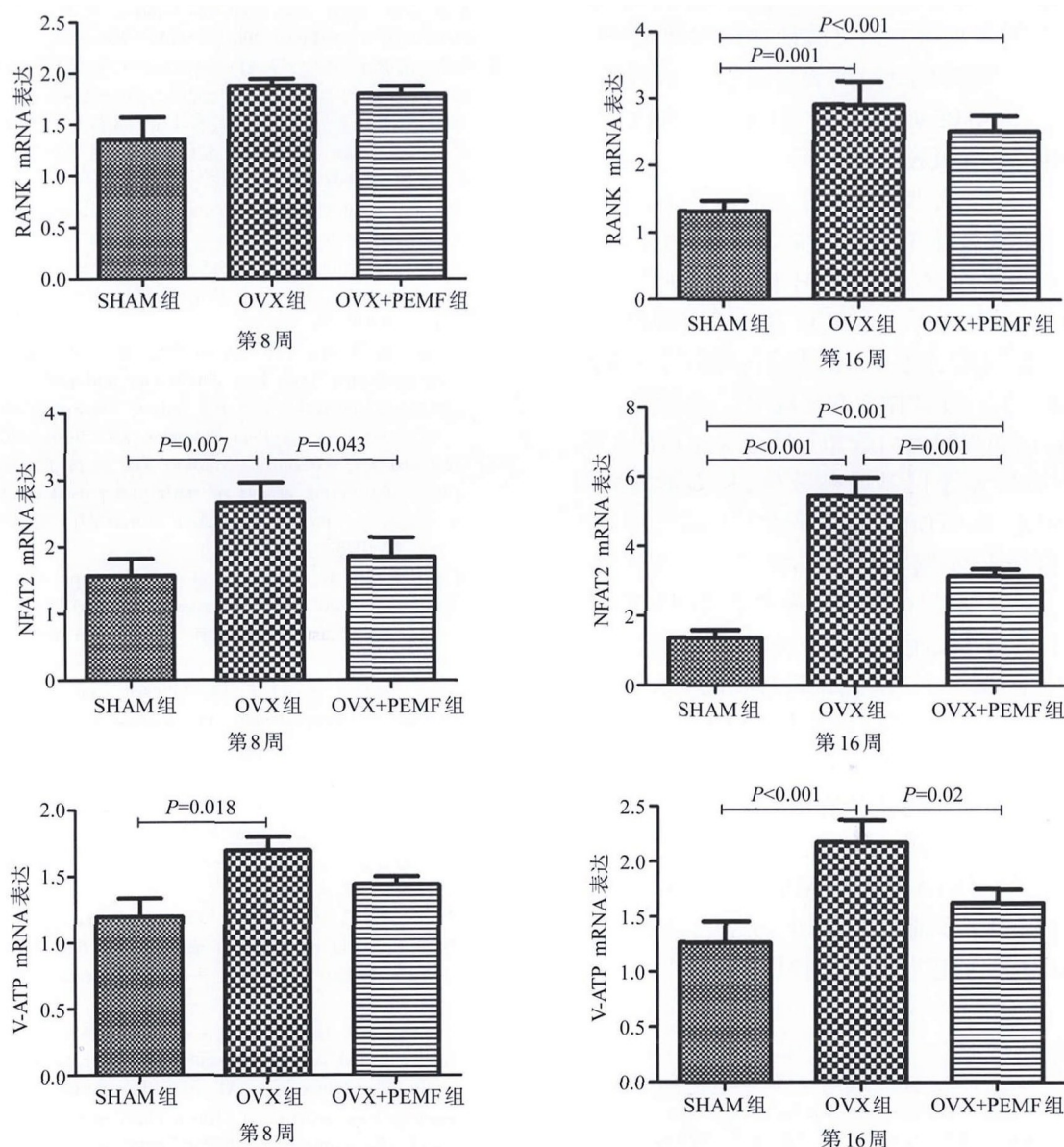
PEMF 是一种在临床中有效治疗 OP 的物理因子方法。已有荟萃分析提示,PEMF 可缓解绝经后 OP 患者的疼痛且安全性高<sup>[8]</sup>。基础实验研究提示,PEMF 可促进成骨细胞活性和矿化成熟<sup>[9]</sup>,也可以抑制 OC 的数量和分化<sup>[10-11]</sup>。Barnaba SA 等<sup>[12]</sup>研究认为,PEMF 在短时间暴露只对 OC 表型起作用。我们前期研究发现 PEMF(干预参数:频率 8Hz,磁场强度 3.8mT,干预 40min)对体外培养 OC 中 RANK 和

表 2 左股骨 BMD 值测量结果 ( $\bar{x} \pm s$ , n=8, g/cm<sup>2</sup>)

组别	SHAM 组	OVX 组	OVX+PEMF 组
8周	0.166±0.013 <sup>①</sup>	0.155±0.003	0.158±0.005
16周	0.162±0.017 <sup>②</sup>	0.111±0.024	0.131±0.009 <sup>①</sup>

①与 OVX 组比较  $P < 0.05$ ; ②与 OVX 组比较  $P < 0.001$ 。

图1 各组RANK、NFAT2、V-ATP mRNA在第8周和第16周的表达



NFAT2的表达起抑制作用<sup>[13]</sup>。这些研究表明,PEMF可影响OC的活化和成熟,并通过各种信号通路抑制OC的骨吸收作用。本研究通过摘除卵巢构建OVX动物模型。与SHAM组比较,OVX组BMD在第8周即下降,随着卵巢切除时间延长,第16周降低更为显著,有显著性意义,提示造模成功。最新研究表明,PEMF可改善OVX大鼠腰椎BMD,以及显微结构和强度<sup>[14]</sup>。本实验采用与我们前期体外试验同样的干预参数,从体内实验研究PEMF对OC分化成熟过程中的部分关键基因RANK、NFAT2及V-ATP影响。

骨髓基质干细胞表面的RANK与OB分泌的RANKL组合,促进骨髓基质干细胞向OC分化成熟,形成骨吸收<sup>[14]</sup>。NFAT2是OC发生的关键的终末分化因子,主要通过RANKL-RANK结合后激活Ca<sup>2+</sup>振荡调节CN来维持活性<sup>[15]</sup>。当NFAT2被Ca<sup>2+</sup>磷酸化后,可以进入细胞核并与转录因子AP-1配合活化基因表达<sup>[16]</sup>。已有研究提示PEMF可以调节细胞内膜的Ca<sup>2+</sup>通道,加速钙在骨组织中的沉积,说明PEMF促进骨形成的效应与早期增强细胞内Ca<sup>2+</sup>浓度有关<sup>[17]</sup>。而本研究中PEMF对骨质疏松大鼠骨组

织中RANK的抑制作用并不明显,说明RANK并非Ca<sup>2+</sup>/CN/NFAT2信号通路的唯一上游基因,NFAT2及其他炎症因子也可能通过其他途径得到抑制<sup>[18]</sup>。然而,PEMF可降低NFAT2的表达,对这与体外实验结果一致<sup>[13]</sup>,说明PEMF可能通过Ca<sup>2+</sup>/CN/NFAT2信号通路抑制OC骨吸收。

V-ATP酶是与骨吸收密切相关的,对骨吸收过程中的OC进行可视化免疫染色得知V-ATP酶位于褶皱缘上。在质子跨膜过程中将H<sup>+</sup>转运到吸收微环境中,再通过能量非依赖性的HCO<sup>3-</sup>和Cl<sup>-</sup>交换机制维持电离平衡,促使OC分泌HCl使吸收区域微环境内pH值达到4.5左右。在此微酸性环境中,一些蛋白水解酶被激活,例如组织蛋白酶和基质金属蛋白酶9等,导致裸露的胶原蛋白基质被分解,从而形成骨吸收<sup>[19-20]</sup>。因此,V-ATP的功能障碍会导致破骨细胞的骨吸收过程受阻,抑制V-ATP的活性变成了抗骨质疏松治疗的靶点。我们在体内试验中发现PEMF也可降低V-ATP的表达,而且随着干预时间的延长,抑制作用逐渐加强,提示PEMF可能通过降低V-ATP的表达抑制OC活性,从而延缓OVX大鼠的骨丢失。

通过实验,我们验证了PEMF抗骨质疏松的部分生物学机制,但PEMF是否通过经典的Ca<sup>2+</sup>/CN/NFAT2信号通路抑制OC的活性,还是通过其他信号通路间接抑制NFAT2和V-ATP,两者之间是否存在关联,需要进一步通过的体内外实验得以验证,以明确PEMF抑制骨吸收的具体作用机制。

## 参考文献

- [1] Liu W, Zhang X. Receptor activator of nuclear factor- $\kappa$ B ligand (RANKL)/RANK/osteoprotegerin system in bone and other tissues (review)[J]. Mol Med Rep, 2015, 11(5):3212—3218.
- [2] Zhang Y, Jiang P, Li W, et al. Calcineurin/NFAT signaling pathway mediates titanium particle induced inflammation and osteoclast formation by inhibiting RANKL and M-CSF in vitro[J]. Mol Med Rep, 2017, 16(6):8223—8230.
- [3] Kajiyama H. Calcium signaling in osteoclast differentiation and bone resorption[J]. Adv Exp Med Biol, 2012, 740:917—932.
- [4] Qin A, Cheng TS, Pavlos NJ, et al. V-ATPases in osteoclasts: structure, function and potential inhibitors of bone resorption[J]. Int J Biochem Cell Biol, 2012, 44:1422—1435.
- [5] 姜俊良,梁邱,杨浩伦,等.低频脉冲电磁场治疗绝经后骨质疏松症的临床疗效观察[J].中国康复医学杂志,2017,32(2):192—194.
- [6] He Z, Selvamurugan N, Warshaw J, et al. Pulsed electromagnetic fields inhibit human osteoclast formation and gene expression via osteoblasts[J]. Bone, 2018, 106:194—203.
- [7] Livak KJ, Schmittgen TD. Analysis of relative gene expression data using real-time quantitative PCR and the 2<sup>-ΔΔCt</sup> method[J]. J Methods, 2001, 25:402—408.
- [8] 徐换,郝赤子,郑俊,等.脉冲电磁场治疗绝经后骨质疏松症的Meta分析[J].中国康复,2017,32(3):230—234.
- [9] 方清清,李志忠,周建,等.信号分子p38参与低频脉冲电磁场促进成骨细胞矿化成熟的实验研究[J].中国修复重建外科杂志,2016,30(10):1238—1243.
- [10] Zhang J, Xu H, Han Z, et al. Pulsed electromagnetic field inhibits RANKL-dependent osteoclastic differentiation in RAW264.7 cells through the Ca<sup>2+</sup>-calcineurin-NFAT2 signaling pathway[J]. Biochem Biophys Res Commun, 2017, 482(2):289—295.
- [11] Pagani S, Veronesi F, Aldini NN, et al. Complex regional pain syndrome Type I, a debilitating and poorly understood syndrome, possible role for pulsed electromagnetic fields: A narrative review[J]. Pain Physician, 2017, 20(6):E807—E822.
- [12] Barnaba SA, Ruzzini L, Martino AD, et al. Clinical significance of different effects of static and pulsed electromagnetic fields on human osteoclast cultures[J]. Rheumatol Int, 2012, 32:1025—1031.
- [13] He J, Zhang Y, Chen J, et al. Effects of pulsed electromagnetic fields on the expression of NFAT2 and CAII in mouse osteoclast-like cells[J]. Aging Clin Exp Res, 2015, 27(1):13—19.
- [14] Lei T, Liang Z, Li F, et al. Pulsed electromagnetic fields (PEMF) attenuate changes in vertebral bone mass, architecture and strength in ovariectomized mice[J]. Bone, 2017, 8, 108:10—19.
- [15] Niu C, Xiao F, Yuan K, et al. Nardosinone suppresses rankl-induced osteoclastogenesis and attenuates lipopolysaccharide-induced alveolar bone resorption[J]. Front Pharmacol, 2017, 12, 8:626.
- [16] Di Nisio C, Zizzari VL, Zara S, et al. RANK/RANKL/OPG signaling pathways in necrotic jaw bone from bisphosphonate-treated subjects[J]. Eur J Histochem, 2015, 59(1):2455.
- [17] Zawawi MS, Dharmapatni AA, Cantley MD, et al. Regulation of ITAM adaptor molecules and their receptors by inhibition of calcineurin-NFAT signalling during late stage osteoclast differentiation[J]. Biochemical and Biophysical Research Communications 2012;427:404—409.
- [18] Petecchia L, Sbrana F, Utzeri R, et al. Electro-magnetic field promotes osteogenic differentiation of BM- hMSCs through a selective action on Ca<sup>2+</sup>-related mechanisms[J]. Sci Rep, 2015, 5:13856.
- [19] Li M, Wang X, Bian Z, et al. Peptide 11R-VIVIT stimulates osteoblastogenesis through regulating the expression of nuclear factor of activated T cells cytoplasmic 1[J]. Cell Mol Biol (Noisy-le-grand), 2017, 29, 63(4):46—52.
- [20] Cotter K, Stransky L, McGuire C, et al. Recent insights into the structure, regulation, and function of the V-ATPases [J]. Trends Biochem Sci, 2015, 40(10):611—622.
- [21] Qin A, Cheng TS, Lin Z, et al. Versatile roles of V-ATPases accessory subunit Ac45 in osteoclast formation and function[J]. PLoS One, 2011, 6:e27155.